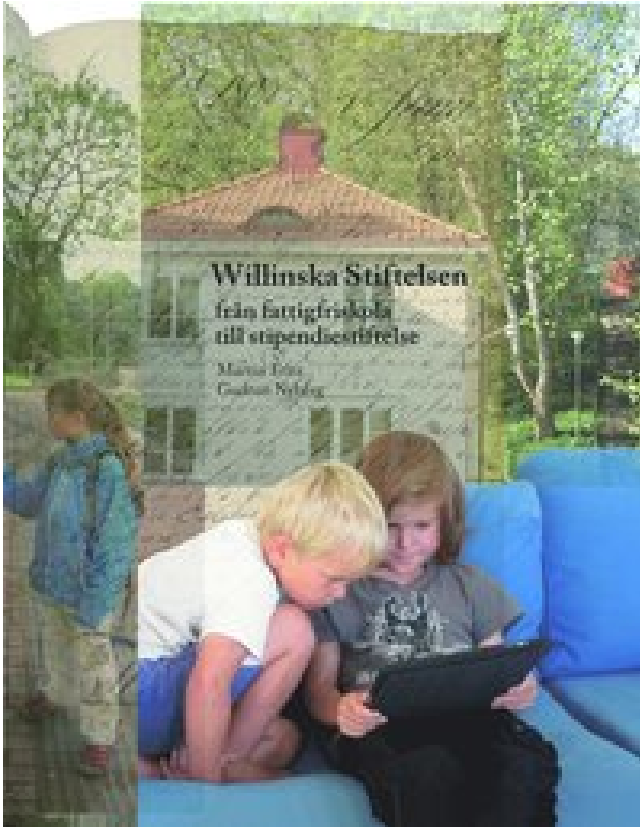


Willinska Stiftelsen från fattigfriskola till stipendiestiftelse PDF EPUB LÄSA ladda ner



Författare: Martin Fritz.

LADDA NER

LÄSA

Annan Information

Den maximala uppmätta volatiliseringshastigheten (168 g ha⁻¹ h⁻¹) förutspåddes mest precist med scenariot som inkluderade den mest komplexa modellen (100 g ha⁻¹ h⁻¹). Nio olika gränsvillkor (BCs) utformades och undersöktes. Cattaneo University (LIUC), vol. 2 (2), sid 261-279, december. DIW Berlin, tyska institutet för ekonomisk forskning, vol. 74 (45), sidorna 673-677. ERS-2002-93-ORG, Erasmus Research Institute of Management (ERIM), ERIM är Joint Research Institute vid Rotterdam School of Management, Erasmus University och Erasmus School of Economics (ESE) vid Erasmus University Rotterdam. Denna match anger ett tvungen resonanssvar som. Bulgariska vetenskapsakademien - Ekonomiska forskningsinstitutet, nummer 3, sidorna 3-25. MDPI, Open Access Journal, vol. 5 (2), sidorna

1-21, april. Tester utfördes för att verifiera växlingsförmågan från hög till låg emitteringstillstånd och vice versa. Projektets huvudsakliga syfte var att ge information om komprimering och kryp, eftersom de kan bidra till ytanedsättning. Denna process undersöks numeriskt i en plan formulering för en termiskt isolerad övre gräns.

Konditionerade medier insamlade från mikrovaskulära endotelceller i simulerad mikrogravity användes för att odla humana osteoblaster och visade sig fördröja osteoblastproliferation och hämma deras aktivitet. Diskussion. Mikrovaskulära endotelceller i mikrogravity är tillväxthämmande och frisätter höga mängder av matrismetalloproteaser typ 2 och interleukin-6, vilket kan spela en roll för att försämra tillväxten av osteoblaster och försämra deras osteogena aktivitet. Dessutom är reservoarens minsta initialkapacitet för att söka optimala regelkurvor 10% av full kapacitet. Sådana experiment avslöjade emellertid inte exakt hur MOCR påverkar kochleär signalbehandling i en nära slinga. I det här beskrivna arbetet användes en stor retarderbar potentiell analysator för att mäta både elektron- och jonenergifördelningsfunktioner i den lågdensitetsexpanderande plasman framställd nedströms plasmakällan. I samtliga fall testade kriging från de perfekta kontinuiteten till en fullständig brist på kontinuitet i kolsöm tjocklek de bästa uppskattningarna följt av IDS och polygonala metoder. Utrustningen har utvecklats för ett brett spektrum av simuleringsförhållanden, inklusive en rad bestrålningskällor och genomförandet av analytiska tekniker, inklusive IR- och UV-spektroskopi och masspektrometri.

Detta kommer att möjliggöra en rimlig jämförelse av numeriskt beräknade ljudnivåer med experimentella resultat. Stokastisk modellering av insulinkänslighet och adaptiv glykemisk kontroll för kritisk vård. Dessutom analyseras elektronoscillationerna som ges av spektra av den aktuella autokorrelationsfunktionen för båda typerna av gränsvillkorna. Constantin Brancoveanu University, vol. 25 (3), sidorna 31-41. Baserat på korrelationen mellan spektralhalten i den thalamiska aktiviteten och tremmen (Hua, 1998), (Lenz, 1988) implementerade vi en adaptiv minivariansregulator för att reglera effektspektrumet för de simulerade LFP: erna och återställa LFP-strömspektrumet närvarande under tremorbetingelser till en referensprofil som härrör från tremorfria förhållanden. Resultaten tyder på att dynamisk gravitationsstimulans kontrollerar partitioneringen av produkterna av fotosyntes. Rumänska samhället för ekonomisk vetenskap, Revista OEconomica, nummer 02, juni. Virtual Habitat-simuleringsverktyget består av fyra huvudmoduler: a.

Springer; Lycka Ekonomien och Interpersonella Relationer (HEIRS), sidorna 77-91. Nanokaviteterna sammanslagas för att bilda läge I spröda sprickor, medan dislokationer genererar kinkband som ger upphov till läckage II-sprickor. Detta projekt kommer att utveckla en flerdimensionell, omfattande oxidationskinetikmodell av grafit i HTR, med olika möjligheter att hantera olika flödesregimer. Den organiska förstöringshastigheten kan betraktas som en övre gräns för den globalt genomsnittliga biomassaproduktionshastigheten hos existerande organismer vid ytan av Mars. Dessa tekniker möjliggjorde utveckling av en uppsättning bästa praxis, för utvärdering av framtida flygfordonsmönster när det gäller vibrationsbelastningar. Effekten av variation och nutrition i två kliniska studier. Vidare utförs en kvantitativ jämförelse mellan numeriska resultat av variabla och konstanta spekularitetskoefficienter för att undersöka effekten av rumsliga och tidsmässiga variationer i spekularitetskoefficienten. MDPI, Open Access Journal, vol. 3 (1), sidorna 1-9, januari. Alla simuleringar utförs med en kommersiell CFD mjukvara FLUENT. En integrerad stor eddy simulering (ILES) som använder en finit-volym teknik användes för att lösa de tredimensionella inkompressibla Euler ekvationerna med numerisk dissipation. Min utbildning

inom filosofin har annars präglats av bredd, mer än djup: Jag fokuserade på sinnesfilosofi i Skovde, vetenskaps- och språkfilosofi medan i Helsingfors, etik och moralpsykologi medan i Oxford och idrottsetik i Swansea.

MDPI, Open Access Journal, vol. 5 (1), sidorna 1-16, mars. MDPI, Open Access Journal, vol. 4 (4), sidorna 1-19, oktober. Econometric Society, vol. 77 (4), sidorna 1003-1045, juli. Tidshistorikkärnan funktioner för olika kristallgitterar är härledda för att visa generaliteten av den föreslagna metoden. En av dess rikliga resurser är den martianska atmosfären som kan skördas genom filtrering och kemiska processer som renar och separerar den i dess gasformiga och elementära beståndsdelar. Springer; Akademiai Kiado, vol. 110 (3), sidorna 1573-1578, mars. Testförhållandena inkluderar flyghastigheter från Mach 2 till 3 vid höjder från 16 till 23 km. Däremot var den primära visuella nätverksanslutningen mest tillförlitlig när ämnen hade sina ögon öppna (och inte. Banca Nazionale del Lavoro, vol. 59 (238), sidorna 293-305. En senaste trend är att ge flexibilitet och kontroll i den termiska konstruktionen som innefattar rörliga emitterande ytor som består av elektrokroma (EC) beläggningar.

Vidare valdes två mineralblandningar som representerar den tidiga och den sena martian-ytan samt montmorillonit som en enda komponent av fyllosilikatiska mineraler, typiska för Noachian-perioden på Mars. Resultaten av denna studie visar att krita verkligen är ett hastighetsberoende material under laboratoriebelastningsbetingelser, eftersom tidseffekter uppenbarades då belastningsgraden varierades. Dessa lanseringsvillkor har jämförts med referenslanseringsförhållandet för att karakterisera den förväntade avvikelserna. DSP och ARM11 med WINCE 6.0 har använts för att konstruera systemet. Sage Publications, vol. 61 (1), sidorna 110-118, mars. Springer; Samhälle för ekonomisk design, vol. 6 (3), sidorna 461-480. MDPI, Open Access Journal, vol. 3 (4), sidorna 1-15, oktober. Kliniska fördelar med smidig glykemisk kontroll: fokus på intensivvården. Existerande experimentella efterbehandlingsundersökningsdata (PIE) är emellertid begränsade till reaktorbetingelserna, vilket medför lägre bränsletemperatur jämfört med LWR-förhållanden.

Flera decentraliserade arkitekturer har föreslagits för autonom etablering och underhåll av satellitformationer. Southern Economic Association, vol. 79 (1), sidorna 90-96, juli. University of Chicago Press, vol. 110 (5), sidorna 947-993, oktober. En ny direkt iterativ sampler, benämnd Blocking Moving Window (BMW) presenteras. GUI-tekniken inbäddad i MATLAB valdes som verktyg för att utveckla ett gränssnitt mellan människa och maskin. Centrum för transportstudier, University of Minnesota, vol. 4 (2), sidorna 5-18. Ytterligare analys av LAN-nätverket, inklusive karaktärisering av nätverksbelastning, paketfel och latens, presenteras.

Detta medför att radar SWB är en proxy för den öppna stängda magnetiska fältgränsen (OCB) under dessa speciella förhållanden. Inte överraskande fann vi att modellens prognoser är känsligare för de ursprungliga förhållandena än modellfysik. Experiment har utförts för att studera stabiliteten hos tunna filmer av glycin och alanin mot UV-bestrålning under olika betingelser. Således kan kortslutssvar av hela systemet simuleras för godtyckliga akustiska stimuli. Feedbackvinster som förväntas stabiliseras i den linjära modellen är generellt sett otillräckliga vid icke-linjära simuleringar och vice versa. I de tester som simulerade ett 1-årigt uppdrag av exponering utanför den internationella rymdstationen, överlevde kärnpopulationerna av bakterier och jäst och gav skydd mot UV; emellertid reducerades den totala mikrobiella densiteten hos populationerna, vilket uppenbarades genom implementering av kulturberoende och kulturoberoende metoder. För författarens bästa kunskap finns det emellertid ingen bedövningssimulator som innehåller sluten-återkopplad kontroll av

anestesimedeladministrationen fritt tillgänglig och tillgänglig för allmänheten.

Haloförspänningen är därför ett extremt lovande verktyg för att undersöka primordiala icke-gaussianiteter och därigenom ge insikter i den fysiska mekanismen som genererade de primordiala störningarna. Aktiveringsparametern beräknad för lutningsskivan vid tidpunkten för tillslutningen visade sig vara 2,7 gånger större än den för bi-broschyrens mekaniska ventil och befanns vara i närheten av den mindre öppningsregionen huvudsakligen på grund av migreringen av vortiska strukturer från huvudet till den mindre öppningsregionen under broschyrens återhämtning av stängningsfasen.

Dessa nya gränsvillkor ger mer noggranna resultat än de som tidigare användes och möjliggör signifikant minskning av den erforderliga CPU-tiden över simuleringar, i vilka slipfria förhållanden tillämpas. Nio patienter med typ 1-diabetes (5 kvinnor, medelålder 53,3 år, medelvärde A1C 7,2%) genomgick 9 studier med totalt 571 timmars slutkontroll med antingen standard eller personliga parametrar. I ett CAS-uppdrag är alla ovanstående aktiviteter kritiska. Det visade sig tidigare att för måttligt störda förhållanden i före midnatt sektorn motsvarar placeringen av spektralbreddsgränsen (SWB) den ojämnligen kanten av auroral ovalen, bestämd från energispektra av utfällande partiklar uppmätta ombord Försvarsmeteorologi Satellit Program satelliter. Allmän insikt erhålls på inverkan av effekterna av vätskebanan längd, membrantjocklek, nanopartikelposition, defokus och andra mikroskopparametrar på uppnåelig bildkvalitet. Det är den mest effektiva åtgärden för att inspektera de dynamiska egenskaperna hos hydro-turbinstyrningssystemet, och dess tillslutningshastighet för styrskovet som sätts i guvernören beror på optimeringsresultatet i den tidigare typen av lastavstötning. Isbildningsmiljöer kan studeras antingen utomhus eller i laboratoriet. Våra tidigare studier med bipacksventiler har visat att stora skjuvspänningar inducerade i gapet mellan broschyrkanten och ventilhuset resulterar i relativt höga blodplättsaktiveringsnivåer, medan flödet mellan broschyren resulterar i skurvorter som inte bidrar till blodplättsskador. Warsaw University, Faculty of Management, vol. 1 (14-15), sidorna 7-15.

MDPI, Open Access Journal, vol. 3 (2), sidorna 1-7, maj. Mikrogravitetsmiljön simulerades med användning av antingen en hög-aspektförhållande käril (HARV) bioreaktor med fritt fall eller en klinostat utan fritt fall av celler. *Shewanella decolorationis* S12 användes i både slutna kretslopp och öppna MFC-kretsar i denna studie. Karakterisering och simulering av fluidflödesmönster och syreöverföring. En av simuleringarna är baserad på ett publicerat experiment och simuleringens resultat jämförs med experimentdata. Tre av dessa approximationer tar inte hänsyn till att mörk materia och baryoner upplever en skalberoende tillväxt efter fotonkoppling, vilket resulterar i hastighetsriktningar som inte är desamma som deras förskjutningsriktning. MDPI, Open Access Journal, vol. 6 (3), sidorna 1-18, augusti.